

©1995 г.

ИЗЛУЧАТЕЛЬНЫЕ РЕКОМБИНАЦИОННЫЕ ПЕРЕХОДЫ ЧЕРЕЗ СОСТОЯНИЯ СВЯЗАННЫХ И СВОБОДНЫХ ЭКСИТОНОВ В ОДНООСНО ДеФОРМИРОВАННОМ ТЕЛЛУРИДЕ КАДМИЯ

M.B. Стриха, Н.И. Тарбаев, Г.А. Шепельский

Институт физики полупроводников Национальной академии наук Украины,
252650, Киев, Украина

(Получена 28 июля 1994 г. Принята к печати 21 ноября 1994 г.)

Проведены экспериментальные и теоретические исследования сдвига, расщепления и изменения интенсивности линий излучения связанных и свободных экситонов в одноосно деформированном CdTe. Обнаруженный нелинейный сдвиг энергетического положения пиков акцепторных экситонов обусловлен сильным спин-спиновым взаимодействием в системе двух тяжелых дырок. Обнаружены также немонотонная зависимость и резкое гашение интенсивности излучения акцепторных экситонов в области больших деформаций (давление $P > 1$ кбар) при одновременном разгорании линии излучения свободного экситона. Теоретическая модель рассматривает два основных механизма рекомбинации — излучательную и оже-рекомбинацию. Полученные результаты позволяют идентифицировать типы дефектов в CdTe, а также определять локальные механические напряжения в гетероструктурах на основе CdTe.

Теллурид кадмия (CdTe) в последнее десятилетие резко выделяется среди других полупроводниковых соединений $A^{II}B^{VI}$ как по числу публикаций, посвященных физическим свойствам материала, так и количеством технологических и прикладных разработок. Это связано в первую очередь с применением CdTe в качестве основного материала подложек для выращивания фоточувствительных эпитаксиальных слоев $Cd_xHg_{1-x}Te$, а в случае альтернативных подложек — для нанесения буферных слоев. Кроме того CdTe стал широко применяться для создания неохлаждаемых приемников ионизирующих излучений. Качество монокристаллов CdTe и структур на его основе в значительной степени определяется собственными дефектами кристаллической структуры и примесями. Однако традиционные электрофизические методы исследования примесных состояний по отношению к высокоомному, полуизолирующему, теллуриду кадмия оказываются практически трудно применимыми. Поэтому широкое распространение получили низкотемпературные измерения спектров излучательной рекомбинации или низкотемпературный фотолюминесцентный анализ.

В настоящей работе приведены результаты экспериментальных и теоретических исследований излучательных рекомбинационных переходов через состояния экситонно-примесных комплексов, т.е. связанных экситонов, в одноосном напряженном CdTe. Одновременно изменились спектры фотолюминесценции (ФЛ) и оптического отражения в области свободных экситонов. Это дает возможность установить сдвиги и расщепление энергетических зон CdTe при одноосном давлении, а также исследовать воздействие деформации на интенсивность межзонных излучательных переходов.

Необходимо подчеркнуть, что в последнее время появилось значительное число работ, например [1,2], в которых делается попытка определять локальные напряжения в гетероструктурах на основе CdTe по линиям излучения связанных экситонов. Однако до последнего времени в литературе отсутствуют исследования ФЛ связанных экситонов в CdTe в зависимости от величины и направления упругой деформации. Между тем, как будет видно из результатов данной работы, такие зависимости имеют сложный, немонотонный характер.

Эксперимент

Образцы изготавливались из монокристаллического CdTe, выращенного методом Бриджмена. Конечные размеры образцов составляли $2 \times 3 \times 8 \text{ мм}^3$. Фотолюминесценция возбуждалась излучением Не-Не-лазера мощностью 30 мВт. Для получения спектров оптического отражения использовалась лампа накаливания. Спектры ФЛ и оптического отражения записывались на установке, собранной на основе спектрального комплекса КСВУ-2 с обратной линейной дисперсией 2.6 нм/мм.

Спектральное распределение ФЛ исследуемых образцов CdTe в отсутствие деформации (давление $P = 0 \text{ кбар}$) при температуре $T = 4.2 \text{ К}$ (рис. 1) включает линии экситонов, связанных на нейтральных акцепторах, I'_1 и I''_1 , и на нейтральном доноре, I_2 , полосу излучения донорно-акцепторных пар (DA) и, наконец, широкую структурную полосу излучения, связанную с излучательными переходами через состояния глубоких центров (полоса DL). Считается, что донорные и акцепторные состояния, на которых связываются экситоны, являются водородоподобными, но при этом акцепторный уровень оказывается значительно более глубоким (энергия $E_A = 50 \text{ мэВ}$), чем уровень обычного мелкого кулоновского центра [3]. Отметим, что в исходных кристаллах линия излучения свободных экситонов (энергия $E_{\text{ex}} = 1.596 \text{ мэВ}$) практически отсутствует.

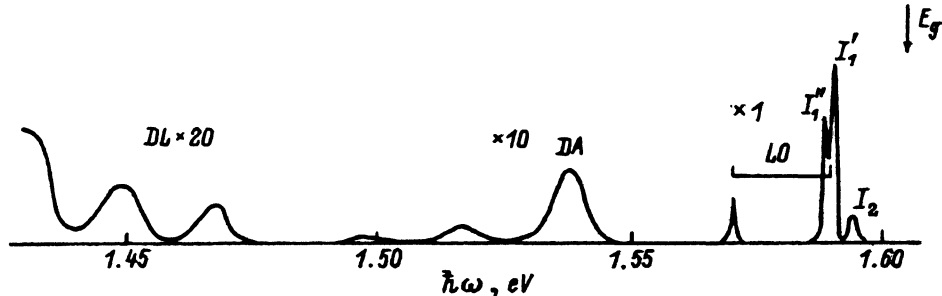


Рис. 1. Спектральное распределение фотолюминесценции кристаллов CdTe. 4.2 К. LO — фононные повторения. Обозначения линий см. в тексте.

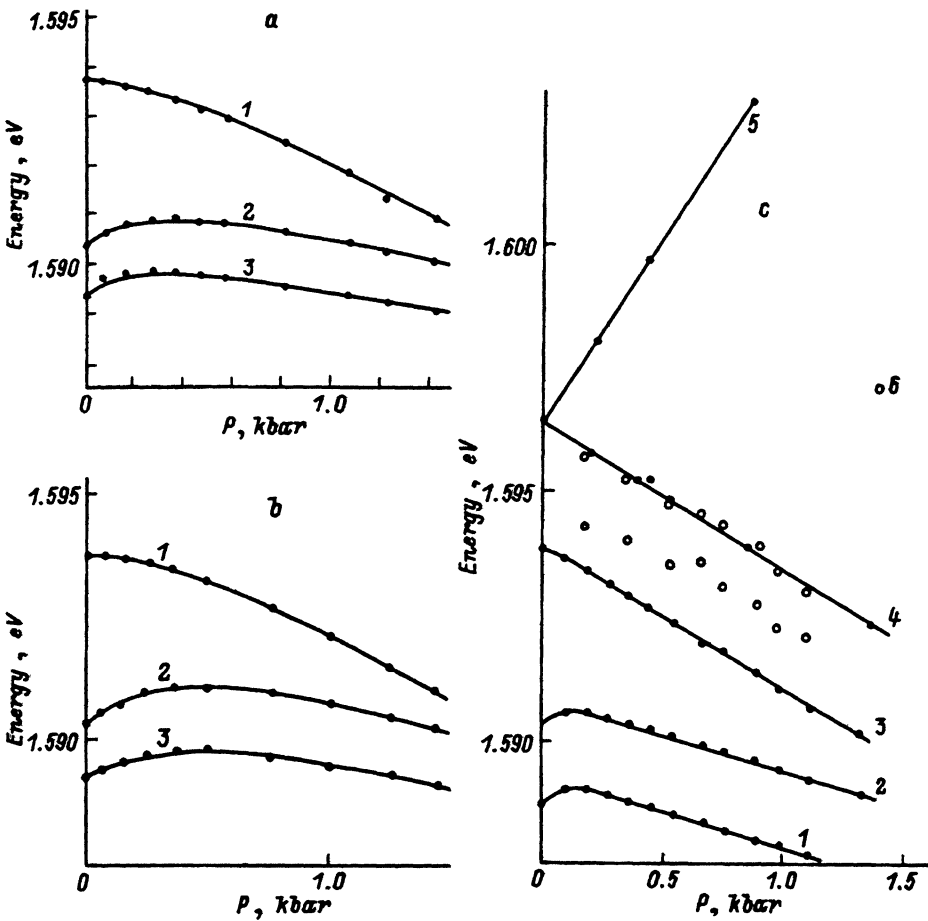


Рис. 2. Деформационные зависимости энергетического положения линий связанных экситонов при $T = 4.2\text{ K}$ для направлений приложения упругих напряжений $\langle 111 \rangle$ (а), $\langle 110 \rangle$ (б), $\langle 100 \rangle$ (с). 1 — I'_1 , 2 — I''_1 , 3 — I_2 . 4, 5 — расщепленные линии свободного экситона в спектре отражения. Точки 6 — положение линий фотолюминесценции, проявляющихся при деформации.

Деформационные зависимости энергетического положения линий излучения связанных экситонов для направлений одноосной упругой деформации $\langle 100 \rangle$, $\langle 110 \rangle$, $\langle 111 \rangle$ приведены на рис. 2. Как видно из рисунка, они оказываются качественно схожими для всех направлений. Этот результат согласуется с данными [4], свидетельствующими об одинаковых сдвиге и расщеплении энергетических зон CdTe для различных направлений деформации.

Главная особенность приведенных кривых — нелинейная зависимость энергетического положения линий I'_1 и I''_1 от величины приложенного давления. В то же время линия I_2 сдвигается с деформацией практически линейно и её сдвиг оказывается близким к деформационному изменению ширины запрещенной зоны. Последнее определялось нами по расщеплению и сдвигу линии свободного экситона в спектре оптического отражения (рис. 2, с, кривая 4).

Приведенные зависимости могут быть поняты на качественном уровне при рассмотрении трансформации зонной структуры кубического кристалла под действием одноосной упругой деформации. Как известно [5], из-за понижения симметрии кристаллической решетки происходит расщепление четырехкратно вырожденной в точке $k = 0$ валентной зоны на две подзоны, V_+ и V_- , с анизотропными эффективными массами. При этом в соответствии с расчетами [6] эффективная масса дырок в верхней из расщепленных подзон оказывается меньше массы тяжелых дырок зоны Γ_8 исходного кристалла. Как следствие, глубина залегания акцепторного уровня будет изменяться с деформацией. Кроме того, происходит и расщепление энергетического уровня акцептора: четырехкратно вырожденный (с учетом спина) уровень расщепляется на два (рис. 3).

Отсутствие расщепления линий излучения акцепторного экситона в эксперименте связано с термализацией дырок на верхнем из расщепленных уровней, поскольку при 4.2 К энергия расщепления уровней $E_{12} \gg kT$ уже при слабых давлениях. Что касается донорного уровня, то он формируется главным образом состояниями дна невырожденной зоны Γ_6 (зоны проводимости) и поэтому не может испытывать расщепления. При этом его энергетический сдвиг должен соответствовать сдвигу дна зоны проводимости от деформации, что соответствует результатам эксперимента.

На рис. 3 приведены зависимости интенсивности линий и полос излучения от величины давления для направления $\langle 111 \rangle$. Для других кристаллографических направлений зависимости оказываются качественно похожими. Как видно из рисунка, интенсивность линии I_2 слабо изменяется с увеличением нагрузки, интенсивности полос DA и DL практически не зависят от деформации, а интенсивности линий акцепторных экситонов I'_1 и I''_1 имеют более сложную деформационную зависимость.

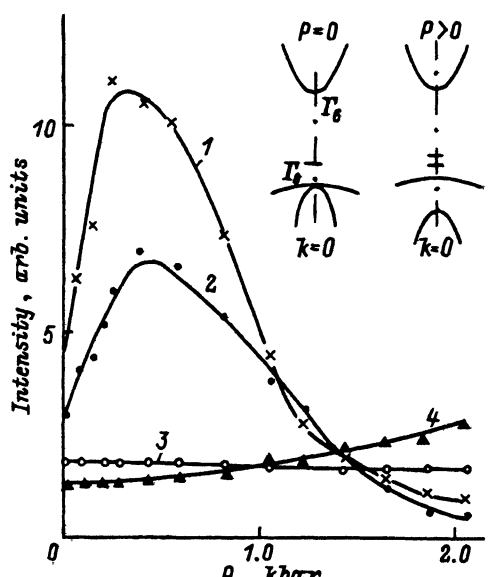


Рис. 3. Деформационные зависимости относительных интенсивностей различных линий и полос излучения для $P \parallel \langle 111 \rangle$: 1 — I'_1 , 2 — I''_1 , 3 — DL , 4 — I_2 . $T = 4.2$ К. На вставке — схема расщепления энергетических уровней в CdTe при одноосной деформации.

Изменение интенсивности излучательных переходов от деформации в общем случае может быть обусловлено воздействием деформации на некоторый неконтролируемый безызлучательный канал рекомбинации, не связанный с исследуемыми дефектами. Однако в этом случае интенсивности излучательных полос и линий должны испытывать одинаковые относительные изменения, чего не наблюдается. Напротив, как видно из рис. 3, деформационные зависимости интенсивности линий акцепторных экситонов резко выделяются в спектре ФЛ. В области $P < 0.5$ кбар наблюдается рост интенсивности линий I'_1 и I''_1 , а в области больших деформаций ($P > 1.5$ кбар) происходит резкое (более чем на порядок величины) гашение линий акцепторного экситона. Столь сильная и немонотонная зависимость линии I_1 наряду с отсутствием деформационной зависимости интенсивностей других полос излучения указывает на то, что в данном случае деформация воздействует непосредственно на рекомбинационные переходы внутри комплекса «нейтральный акцептор-экситон». Наблюданную немонотонность можно объяснить конкуренцией двух механизмов рекомбинации, имеющих различную зависимость от величины деформации. В качестве двух основных механизмов рекомбинации через состояния связанных экситонов мы будем рассматривать излучательную рекомбинацию и оже-рекомбинацию. Гашение излучения связанных экситонов может быть объяснено включением эффективного безызлучательного канала оже-рекомбинации [7] с передачей энергии аннигиляции связанного экситона носителю заряда, локализованному на нейтральном центре.

Из рис. 4 видна еще одна важная особенность воздействия упругой деформации на спектральное распределение ФЛ в CdTe. Как уже

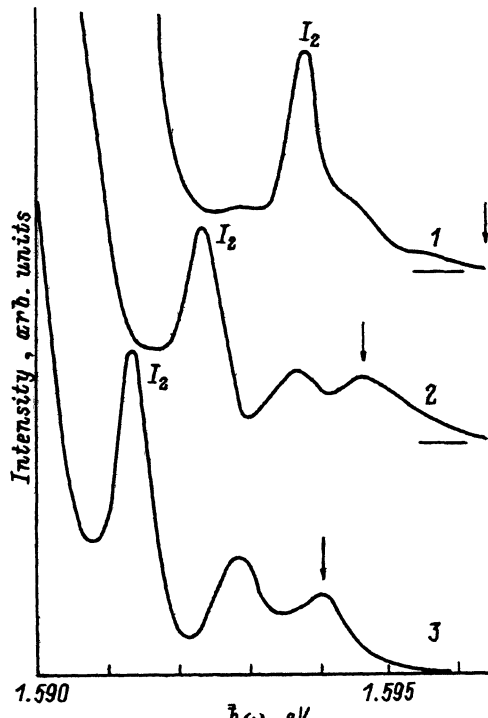


Рис. 4. Разгорание линий излучения свободного экситона и линии возбужденного состояния связанных на доноре экситона при приложении одноосного давления P , кбар: 1 — 0, 2 — 0.53, 3 — 0.88. $P \parallel (100)$. $T = 4.2$ К. Стрелки указывают положение линии свободного экситона при разных значениях давления по данным рис. 2, с (кривая 4).

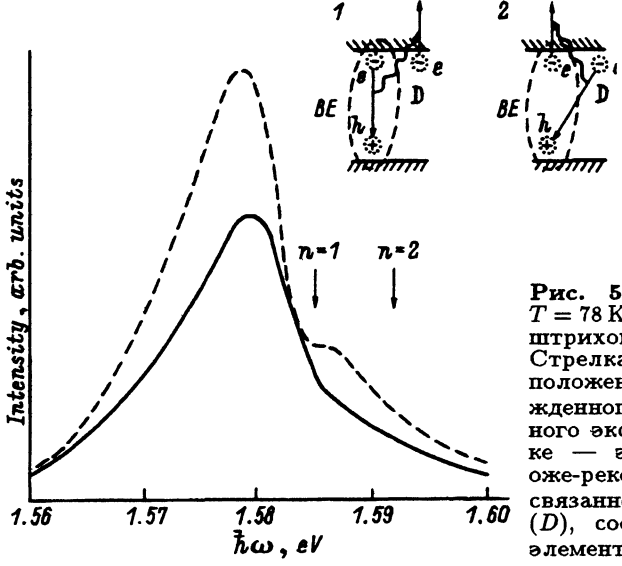


Рис. 5. Краевое излучение при $T = 78 \text{ K}$. Сплошная линия — $P = 0$, штриховая — $P = 0.5 \text{ кбар}$. $P \parallel \langle 100 \rangle$. Стрелками показано энергетическое положение основного ($n = 1$) и возбужденного ($n = 2$) состояний свободного экситона при $P = 0$. На вставке — электронные переходы при оже-рекомбинации экситона (BE), связанного на нейтральном доноре (D), соответствующие матричным элементам переходов V_a (1) и V_b (2).

упоминалось, в отсутствие деформации излучение свободного экситона в исследуемых кристаллах не обнаруживается (рис. 4, кривая 1). Однако в условиях деформации с коротковолновой стороны линии I_2 в спектре ФЛ появляется излучение, которое можно надежно идентифицировать как линию свободного экситона, поскольку ее положение в точности совпадает с линией свободного экситона в спектре отражения во всем диапазоне приложенных давлений (рис. 2, кривая 4). Наряду с линией свободного экситона при упругой деформации отчетливо проявляется и более длинноволновая линия излучения, которая с ростом давления сдвигается практически параллельно линии свободного экситона (рис. 2, с, нижний ряд точек б). Такой деформационный сдвиг, а также очень малое энергетическое расстояние между двумя линиями ($< 1.5 \text{ мэВ}$) позволяет идентифицировать указанную линию как возбужденное состояние экситона, связанного на мелком нейтральном доноре [8]. Ее разгорание имеет, очевидно, ту же природу, что и разгорание линии свободного экситона из-за близости состояний на энергетической шкале.

При повышении температуры кристалла происходит гашение и тепловое размытие линий связанных экситонов, так что при $T = 78 \text{ K}$ излучение в области края зоны представляет собой широкую полосу сложной формы (рис. 5). Излучение при 78 K , как правило, приписывают экситонно-примесным комплексам [9], хотя существуют противоречивые мнения о типе дефектов, на которых связываются экситоны. На коротковолновом крыле широкой полосы проявляется излучение, которое попадает в область основного и возбужденного состояний свободного экситона: $E_{n=1} = 1.5855 \text{ эВ}$, $E_{n=2} = 1.5920 \text{ эВ}$ [10]. При этом происходит разгорание излучения свободного экситона, так что свободный экситон проявляется в виде отчетливой структуры на фоне основной линии излучения (рис. 5, штриховая кривая). Этот результат согласуется с данными полученными при $T = 4.2 \text{ K}$.

Кроме того, в условиях упругой деформации происходит расщепление в максимуме основной полосы излучения. При этом длинноволновая компонента оказывается поляризованной преимущественно в направлении сжатия, а коротковолновая — перпендикулярно этому направлению. Эти данные позволяют сделать вывод о том, что основной вклад в наблюданную широкую полосу излучения в CdTe вносят акцепторные, а не донорные состояния, поскольку донорный уровень не должен испытывать расщепления.

Теория

Рассмотрение оже-рекомбинации связанных экситонов является достаточно сложной многочастичной задачей, решаемой только в рамках определенных модельных приближений. Так, оже-распад связанных экситонов на нейтральных донорах в полупроводниках, описываемых моделью Кейна, исследовался в [11]. При этом начальное состояние связанного экситона рассчитывалось в рамках адиабатического приближения: находилась волновая функция $\Psi(r_1, r_2)$ и энергия $E(r_h)$ двух электронов с координатами r_1 и r_2 (быстрая подсистема) при фиксированной координате дырки r_h (медленная подсистема), а затем решалась задача о движении дырки в потенциальном поле $E(r_h)$. Такой подход может быть обобщен и на случай одноосного деформированного полупроводника.

Уравнение Шредингера для волновой функции донора Ψ_D в этом случае может быть записано как

$$\left[\tilde{\epsilon} + \hat{V} p - \frac{p^2}{2m_h} + U(r) \right] \Psi_D = E_D \Psi_D, \quad (1)$$

здесь $U(r)$ — потенциал донора, \hat{V} — оператор скорости, введенный аналогично [12] (мы используем трехзонную модель Кейна, для которой \hat{V} является матрицей 6×6), m_h — эффективная масса тяжелых дырок в недеформированном полупроводнике, $\tilde{\epsilon}$ — деформационная матрица, явное выражение для которой приводится, например, в [13].

В пределе малых деформаций, определяемых соотношением $\sigma = (c - a)\hat{\epsilon}/E_g \ll 1$ (здесь c , a — деформационные потенциалы, $\hat{\epsilon} = \sum_{i=1} \epsilon_{ii}$, где ϵ_{ii} — тензор деформации), которое выполняется в CdTe для всех экспериментально возможных значений деформации, учет члена $\tilde{\epsilon}$ в левой части (1) дает малые по параметру σ поправки к результатам, полученным в [11].

В рамках использованного подхода можно объяснить нелинейность сдвига с давлением (рис. 2). Отметим, что аналогичный эффект нелинейности ранее наблюдался в GaP [14], однако не мог быть объяснен там в рамках простой модели, учитывающей только сдвиги краев зон проводимости и валентной.

Более строгое рассмотрение трехчастичной задачи предусматривает учет $j-j$ -расщепления в трехчастичной системе. Для донорного связанного экситона энергией электронно-дырочного спин-орбитального расщепления в кубическом кристалле можно пренебречь, и поэтому эффект нелинейности для него практически отсутствует.

стует. Однако в случае акцепторного связанных экситона спин-орбитальное взаимодействие двух дырок является значительным [15], давая искаженную нелинейность в деформационной зависимости энергии основного состояния акцепторного связанных экситона, наблюдавшуюся в эксперименте.

С учетом вида волновых функций начального и конечного состояний $|i\rangle$ и $\langle f|$ с энергиями E_i , E_f соответственно время оже-распада донорного связанных экситона τ_A задается стандартным выражением

$$\frac{1}{\tau_A} = \frac{1}{(2\pi)^2 \hbar} \int d^3 k_f |\langle f | V(\mathbf{r}) | i \rangle|^2 \delta(E_f - E_i). \quad (2)$$

Здесь \mathbf{k}_f — волновой вектор конечного состояния электрона в зоне проводимости. Записав явные выражения для двухэлектронных функций $|i\rangle$ и $\langle f|$, уравнение (2) можно преобразовать к виду

$$\frac{1}{\tau_A} = \frac{2\pi}{\hbar} \rho(E_f) n_t |V_a + V_b|^2. \quad (3)$$

Здесь $\rho(E_f)$ — плотность конечного свободного электронного состояния в зоне проводимости с энергией E_f порядка E_g ; n_t — вероятность заполнения начального донорного состояния электроном. Ввиду тождественности электронов матричный элемент V_a соответствует аннигиляции связанных экситона с передачей энергии электрону на доноре и его переходом в зону проводимости; слагаемое V_b , напротив, соответствует рекомбинации связанных электрона с «экситонной» дыркой, с передачей энергии рекомбинации «экситонному» электрону (рис. 5, вставка).

Ранее в [11] было показано, что в случае оже-рекомбинации связанных экситона на водородоподобном мелком доноре преобладает вклад в (3) матричного элемента V_a , в то время как оже-распад связанных на глубоком доноре экситона происходит преимущественно по каналу V_b . Поэтому в исследуемом случае можно ограничиться рассмотрением вклада V_a в (3).

При этом, как было показано в [16], можно воспользоваться разложением кулоновского потенциала взаимодействия $V(r) = e^2 / (\kappa |\mathbf{r} - \mathbf{R}|)$ в (5) (где \mathbf{r} — координата электрона на доноре, \mathbf{R} — координата «экситонного» электрона) в дипольном приближении, оставив только первый член разложения по параметру $\mathbf{r} \cdot \mathbf{R} / r^3$. При этом

$$V_a = \frac{e^2}{\kappa} \langle f | \frac{\mathbf{r} \cdot \mathbf{R}}{r^3} | i \rangle. \quad (4)$$

Записывая в явном виде $\langle f|$ и $|i\rangle$ через функции локализованного электрона, $\Psi_D(\mathbf{r})$, свободного электрона в зоне, $\Psi_{k_f}(\mathbf{r})$, а также «экситонных» электрона и дырки, $\Psi_c(\mathbf{R})$ и $\Psi_v(\mathbf{R})$, можно показать, что V_a (4) разлагается на два сомножителя — матричный элемент излучательного распада связанных экситона $\langle \Psi_v(\mathbf{R}) | \mathbf{R} | \Psi_c(\mathbf{R}) \rangle$ и функцию, зависящую только от модуля волнового вектора $|\mathbf{k}_f|$.

Отсюда видно, что соотношения времени оже- и излучательной рекомбинации связанного экситона определяются выражением $\tau_A/\tau_R \sim \rho(E_f)n_t$. Энергия связи донора с давлением практически не изменяется, поэтому $n_t = \text{const}$. Одноосное давление также мало изменяет плотность конечных электронных состояний в зоне проводимости $\rho(E_f)$. Поэтому в рассматриваемом случае $\tau_A/\tau_R \approx \text{const}$. Этот результат качественно соответствует слабому изменению интенсивности линий I_2 с одноосной деформацией (рис. 3).

Однако рассмотрение темпа оже-рекомбинации связанного экситона на глубоком акцепторе сложнее. В этом случае следует принимать во внимание расщепление уровня глубокого акцептора E_{12} , обусловленное одноосным сжатием. Как было показано в [17],

$$\delta E_{12} = \varepsilon_0 A(\beta), \quad A(\beta) = 0.1 + 8\beta/5. \quad (5)$$

Здесь $\beta = m_c/m_h$, m_c — эффективная масса электронов в отсутствие деформации, ε_0 — индуцированное одноосным сжатием расщепление между зонами V_+ и V_- в точке Γ_8 . Учет реального значения β для CdTe дает $A = 0.6$. Существенным следствием (5), а также результатом уменьшения эффективной массы дырок в зоне V_+ по сравнению с m_h [13] является то, что энергия связи верхнего (более глубокого для дырки) состояния акцептора с одноосным сжатием уменьшается.

Для рассматриваемого случая темп оже-рекомбинации описывается выражением, аналогичным по структуре (3), где матричный элемент V_a соответствует аннигиляции связанного экситона с передачей энергии порядка E_g дырке, связанной на более глубоком состоянии акцептора, а V_b описывает рекомбинацию «экситонного» электрона со связанный дыркой, с переходом «экситонной» дырки в глубь валентной зоны. Оценка с учетом реального значения E_A показывает, что в отсутствие деформации в CdTe $V_a \approx V_b$ при $E_A = 50$ мэВ.

При этом в силу соотношения (5) $V_b > V_a$ для области малых давлений, $P < P_0$, где P_0 определяется условием $V_a(P_0) = V_b(P_0)$, и, наоборот, $V_a > V_b$ для области $P > P_0$. В силу различных зависимостей V_a и V_b от P , а также в силу того что τ_R для связанного экситона с P уменьшается по причинам, рассмотренным в [6], должно происходить разгорание экситонных линий I'_1, I''_1 в области $P < P_0$ и их гашение в области более высоких давлений. Это качественное рассмотрение также соответствует наблюдаемым экспериментально максимумам на зависимостях I'_1, I''_1 от P (рис. 3).

Отметим, что наблюдаемое возгорание интенсивности свободного экситона (рис. 4) также хорошо объясняется в рамках рассмотрения, проведенного в [6]. Напомним, что увеличение вероятности излучательного процесса связано с индуцированным давлением и увеличением эффективной плотности дырочных состояний в зоне V_+ вблизи ее экстремума.

Заключение

Идея настоящей работы основана на избирательном воздействии одноосной деформации на электронные состояния зоны проводимости и валентной зоны полупроводников с кубической кристаллической структурой и, как следствие, на состояния соответствующих акцепторных и донорных примесей а также экситонно-примесных ком-

плексов. Поэтому особенности деформационных зависимостей энергетического положения и интенсивности излучательных линий связанных экситонов позволяют идентифицировать типы связанных экситонов и соответствующих дефектов в кристаллах CdTe. В частности, нелинейный сдвиг энергетических пиков акцепторных экситонов обусловлен сильным спин-спиновым взаимодействием в системе из двух тяжелых дырок. Экспериментально обнаружены также немонотонная зависимость и резкое гашение интенсивности излучения акцепторных экситонов в области больших деформаций ($P > 1$ кбар). Наряду с этим происходит разгорание линии излучения свободного экситона и возбужденного состояния донорного экситона. Указанные зависимости интерпретированы в рамках построенной микроскопической теории, учитывающей два основных механизма рекомбинации — излучательную и оже-рекомбинацию. Помимо идентификации типов оптических переходов и типов дефектов результаты настоящих исследований позволяют определять величину и знак локальных упругих напряжений в структурах на основе CdTe.

Авторы выражают благодарность Государственному фонду фундаментальных исследований при Государственном комитете по науке и технологиям Украины, при поддержке которого выполнена эта работа.

Список литературы

- [1] T. Schmidt, H. Sitter, K. Lischka. *J. Cryst. Growth*, **101**, 190 (1990).
- [2] D.J. Olego, J. Petruzzello, S.K. Ghandhi, N.R. Taskar, B. Bhat. *Appl. Phys. Lett.*, **51**(2), 127 (1987).
- [3] R.H. Halsted, M. Aven. *Phys. Rev. Lett.*, **14**, 64 (1964).
- [4] D.G. Thomas. *J. Appl. Phys., Suppl.*, **32**, 2298 (1961).
- [5] Г.Л. Бир, Г.Е. Пикус. *Симметрия и деформационные эффекты в полупроводниках* (М., 1972).
- [6] Ф.Т. Васько, С.Г. Гасан-заде, М.В. Стриха, Г.А. Шепельский. Письма ЖЭТФ, **50**, 287 (1981).
- [7] C.W. Henry, K. Nassau. *Phys. Rev. B*, **2**, 977 (1970).
- [8] Z.C. Feng, M.G. Burke, W.I. Choyke. *Appl. Phys. Lett.*, **53**, 128 (1988).
- [9] T. Taguchi, I. Shirafuji, Y. Inuishi. *Jpn. J. Appl. Phys.*, **12**, 1557 (1973).
- [10] Е.Ф. Гросс, Г.М. Григорович, В.Г. Средин. *ФТТ*, **12**, 2913 (1970).
- [11] Д.Л. Гельмонт, В.А. Харченко, И.Н. Ясиевич. *ФТТ*, **29**, 2351 (1987).
- [12] M. Zawadski, *Lect. Nov. Phys.*, **133**, 85 (1980).
- [13] Ф.Т. Васько, М.В. Стриха. *ФТП*, **24**, 1227 (1990).
- [14] M. Mathieu, B. Archilla, B. Merle, I. Camassel. *Phys. Rev. B*, **20**, 4268 (1979).
- [15] C. Benoit a la Guillaume, P. Lavallard. *Phys. Rev. B*, **5**, 4900 (1972).
- [16] I.M. Langer. *J. Luminesc.*, **40–41**, 589 (1988).
- [17] M.V. Strikha, F.T. Vasko. *Phys. St. Sol. (b)*, **181**, 447 (1994).

Редактор Л.В. Шаронова

Radiative recombination transitions via the states of bound and free exitons in a uniaxially stressed Cadmium Telluride

M.V.Strikha, N.I.Tarbaev, G.A.Shevelski

Semiconductor Institute, Ukrainian Academy of Sciences, 252650 Kiev, The Ukraine

Lina shift, splitting and intensity variation in spectra of bound and free exciton's radiative recombination were studied on a uniaxially stressed CdTe crystal. The observed nonlinear energy peak position shift of the acceptor-bound exciton is attributed to a strong spin-spin interaction in the two heavy-hole systems. A nonmonotonic dependence and abrupt quenching of the acceptor-bound exciton radiative line intensity was also found within the range of larger stresses ($P > 1 \text{ kBar}$) alongside with simultaneous appearance of the free exciton radiative line. Theoretical treatment takes into consideration two basic recombination mechanisms: the radiative and Auger ones. The results obtained make it possible to identify types of defects in CdTe as well as evaluate local mechanical stresses in CdTe-heterostructures.
